

Generalized global symmetry and its application

日高義将

(KEK)

Outline

Generalized global symmetries

- 通常の対称性
- 高次対称性, 非可逆対称性

応用

- 自発的対称性の破れ
- QCD相図への応用

まとめ

最近の我々の仕事(axion electrodynamics)
⇒横倉さんのトーク

通常の対称性

例) $U(1)$ 対称性

$$U(1) \text{ 電荷} \quad Q = \int d^d x j^0 = \int_{M^d} j$$

時間に依存しない

$$\frac{d}{dt} Q = \int d^d x \partial_0 j^0 = - \int d^d x \nabla_i j^i = 0$$

ユニタリー演算子

$$U_g(M^d) = e^{i\alpha Q} \quad (g = e^{i\alpha})$$

$\phi(x)$: 荷電場

$$U_g(M^d) \phi(x) U_g^{-1}(M^d) = e^{iq\alpha} \phi(x) = V_g \phi(x)$$

通常の対称性

$U_g(M^d) = e^{i\alpha Q}$ ($g = e^{i\alpha}$) は群をなす

積: $U_g U_{g'} = U_{gg'}$

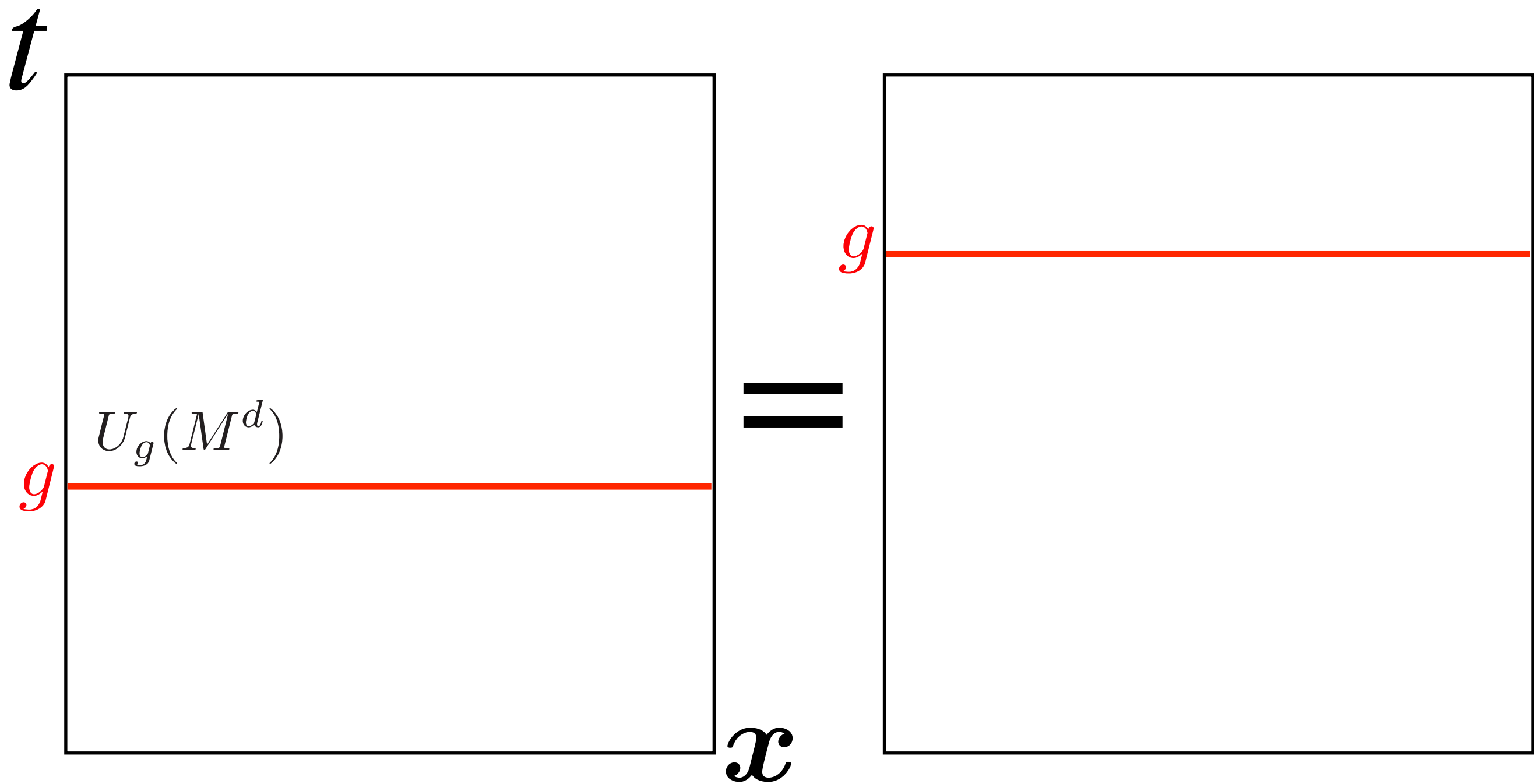
単位元: $1 := U_{e=1}$ $U_g \times 1 = 1 \times U_g = U_g$

逆元: $U_g U_{g^{-1}} = U_{g^{-1}} U_g = 1$

結合則: $U_g(U_{g'} U_{g''}) = (U_g U_{g'}) U_{gg''}$

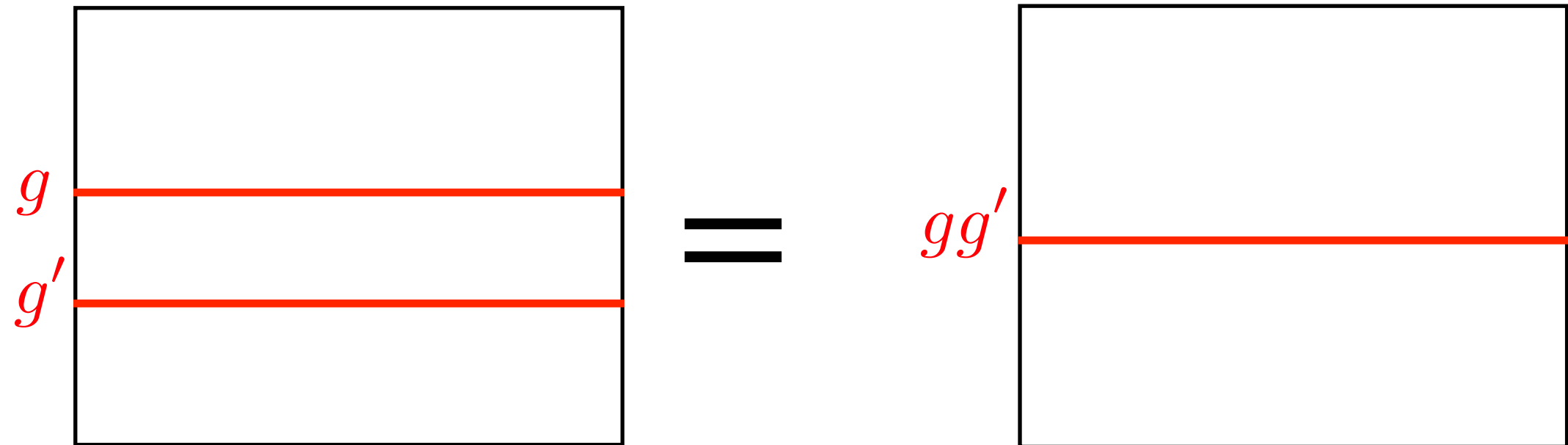
一般の対称性とその群 G についても同様

グラフィカル表現

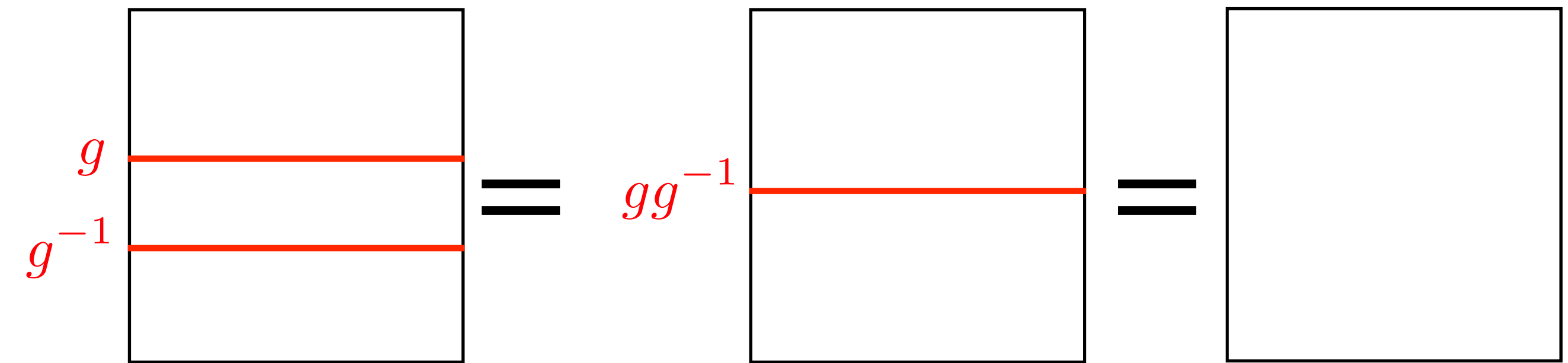


時間に依存しない

グラフィカル表現

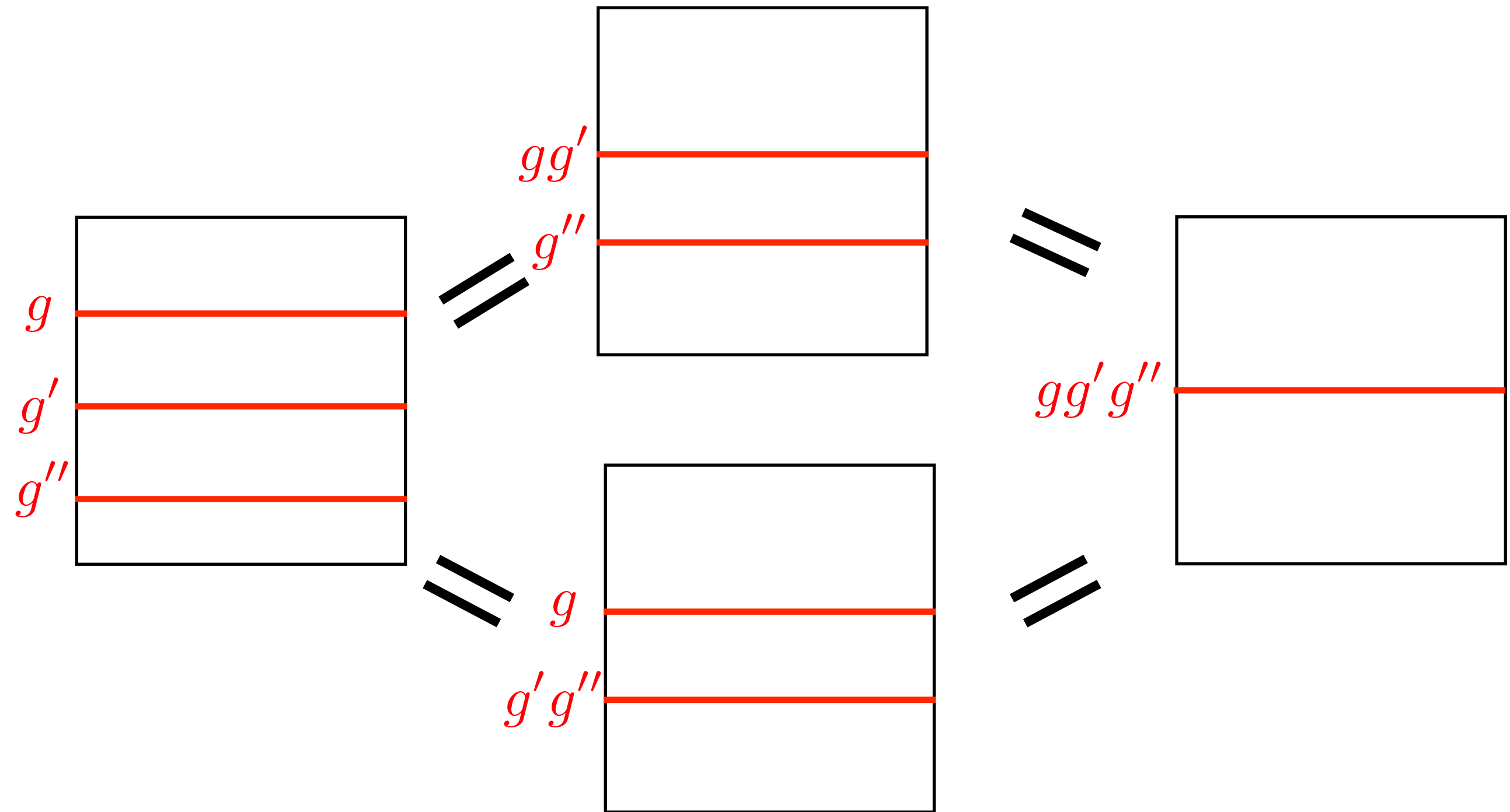


積 : $U_g(M^d) U_{g'}(M^d) = U_{gg'}(M^d)$



逆元: $U_g(M^d) U_{g^{-1}}(M^d) = U_{gg^{-1}}(M^d) = 1$

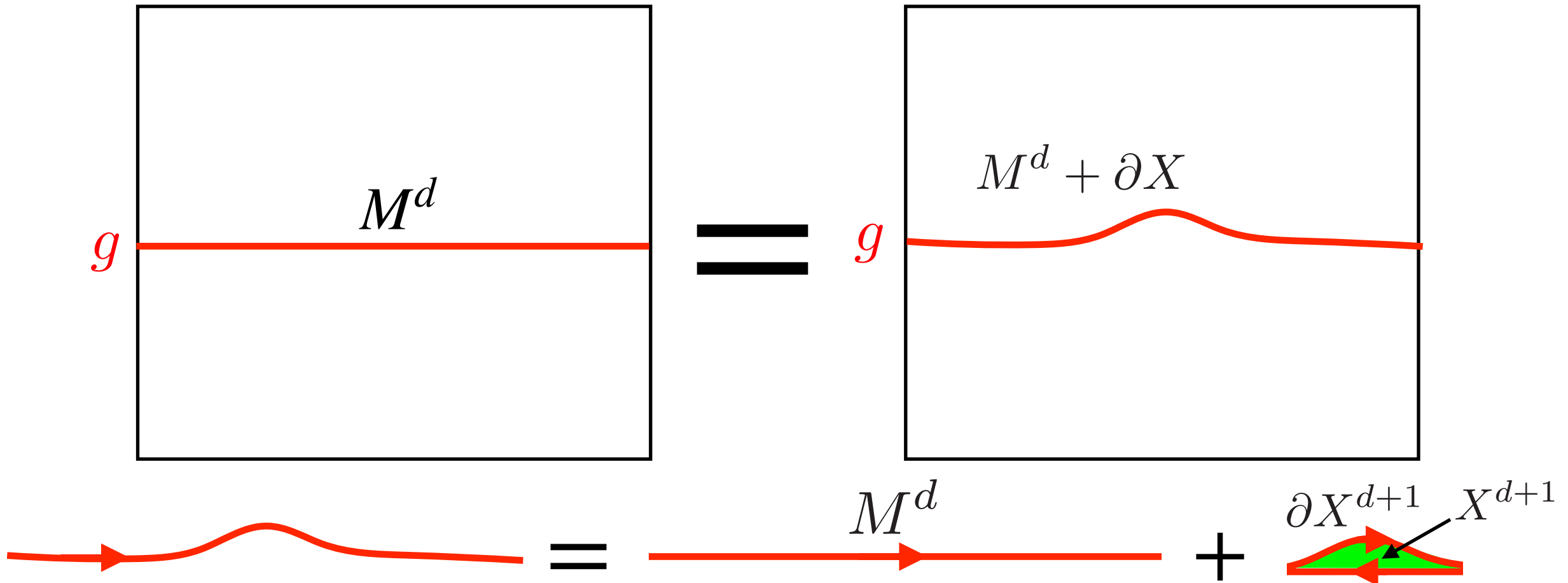
グラフィカル表現



結合則: $(U_g U_{g'}) U_{g''} = U_g (U_{g'} U_{g''})$

グラフィカル表現

対称性演算子はトポロジカルである



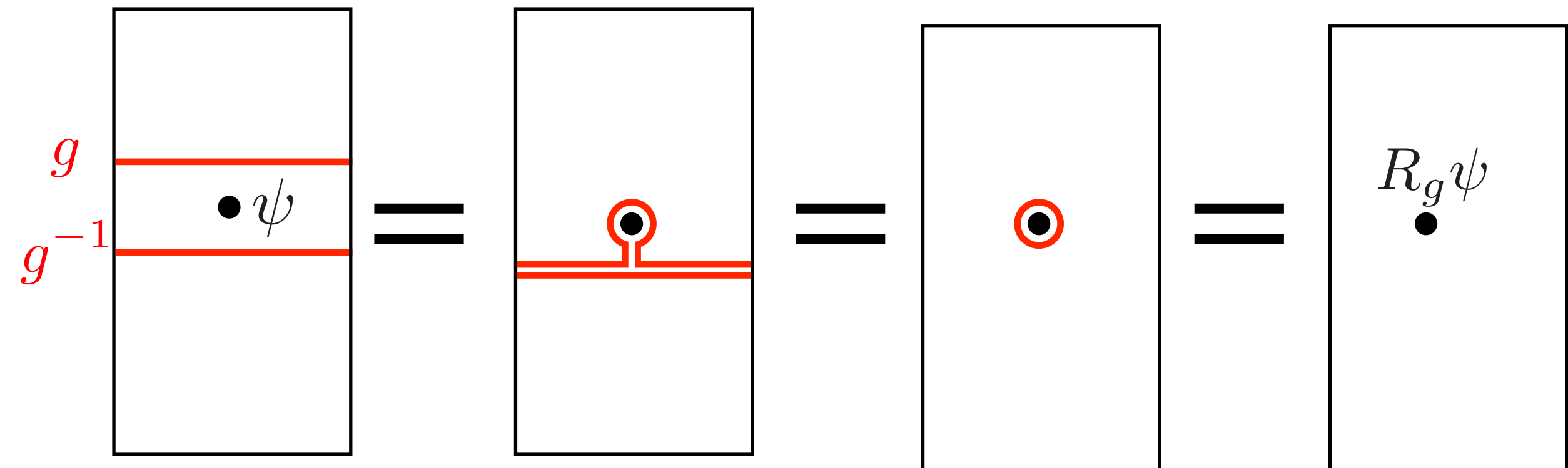
$$\int_{M^d + \partial X} j = \int_{M^d} j + \int_{\partial X} j = \int_{M^d} j + \int_X dj = \int_{M^d} j$$

グラフィカル表現

荷電物体

$$U_g \psi(x) U_{g^{-1}} = R_g \psi(x)$$

表現行列



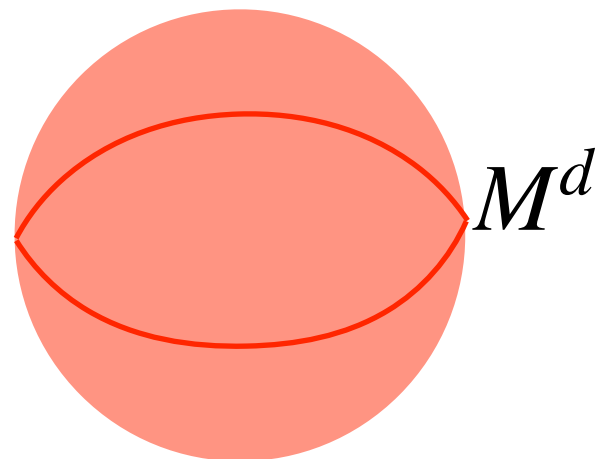
(d+1)次元QFTの対称性

対称性演算子

= 群 G の元でラベルされた

d 次元トポロジカル物体

$$U_g(M^d)$$



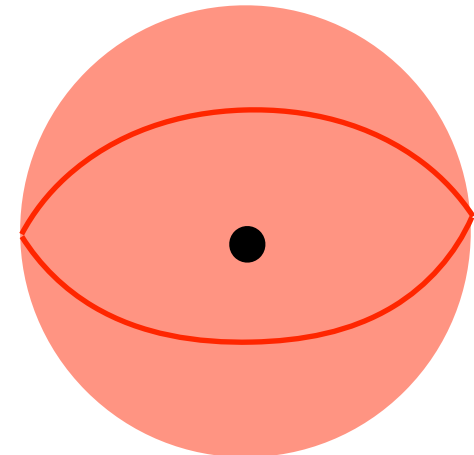
荷電物体

= G の表現でラベル

された0-次元物体

$$\bullet \phi_\rho(x)$$

荷電物体の G の元での変換



$$= R_g \bullet$$

p -次対称性

Gaiotto, Kapustin, Seiberg, Willett, JHEP 02 (2015) 172

荷電物体: 群 G の元で変換する p 次元物体

対称性演算子:

群 G の元でラベルされた $(d - p)$ 次元トポロジカル物体

例) 2+1 次元

0次対称性

$$d - p = 2$$

対称性
演算子

1次対称性

$$d - p = 1$$

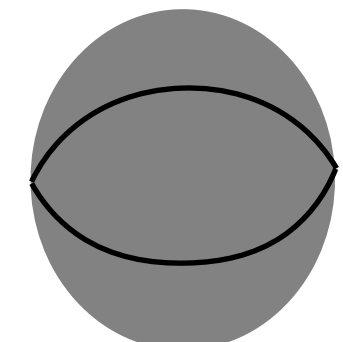


荷電物体

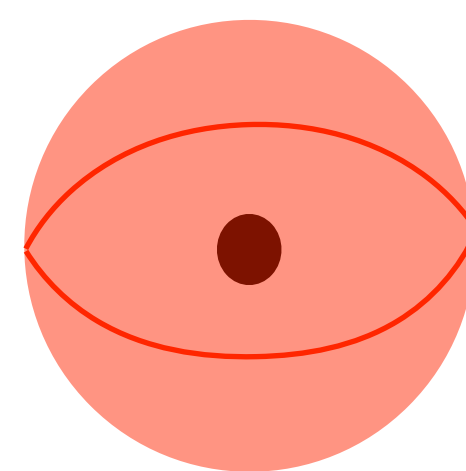
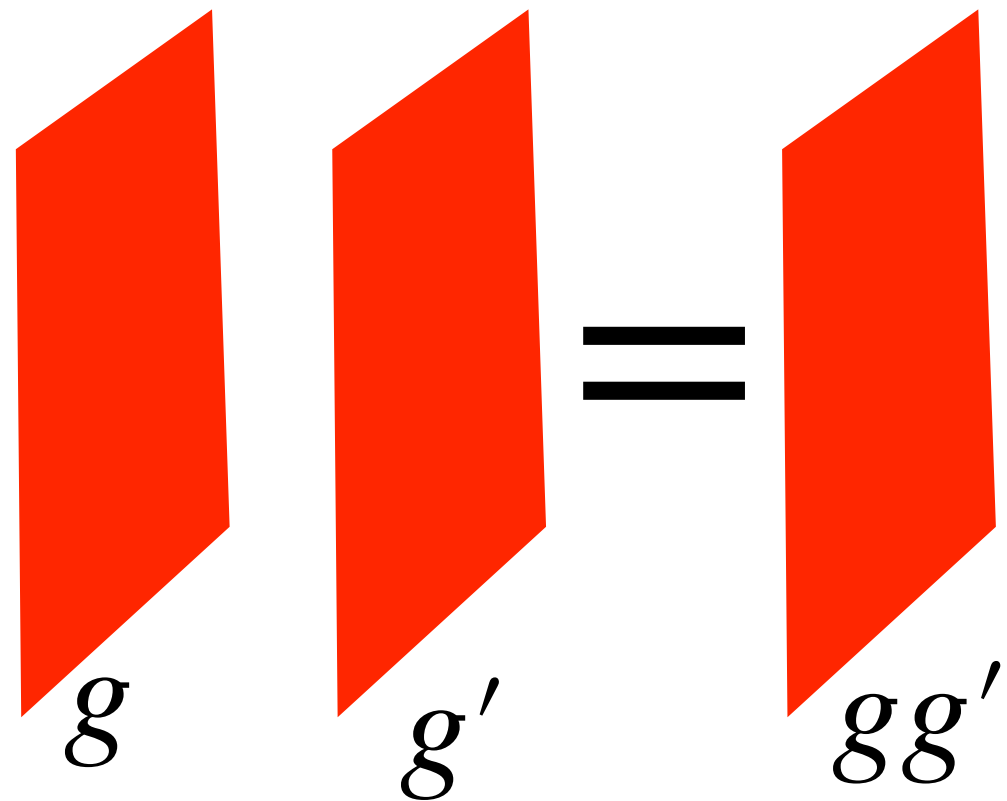


2次対称性

$$d - p = 0$$

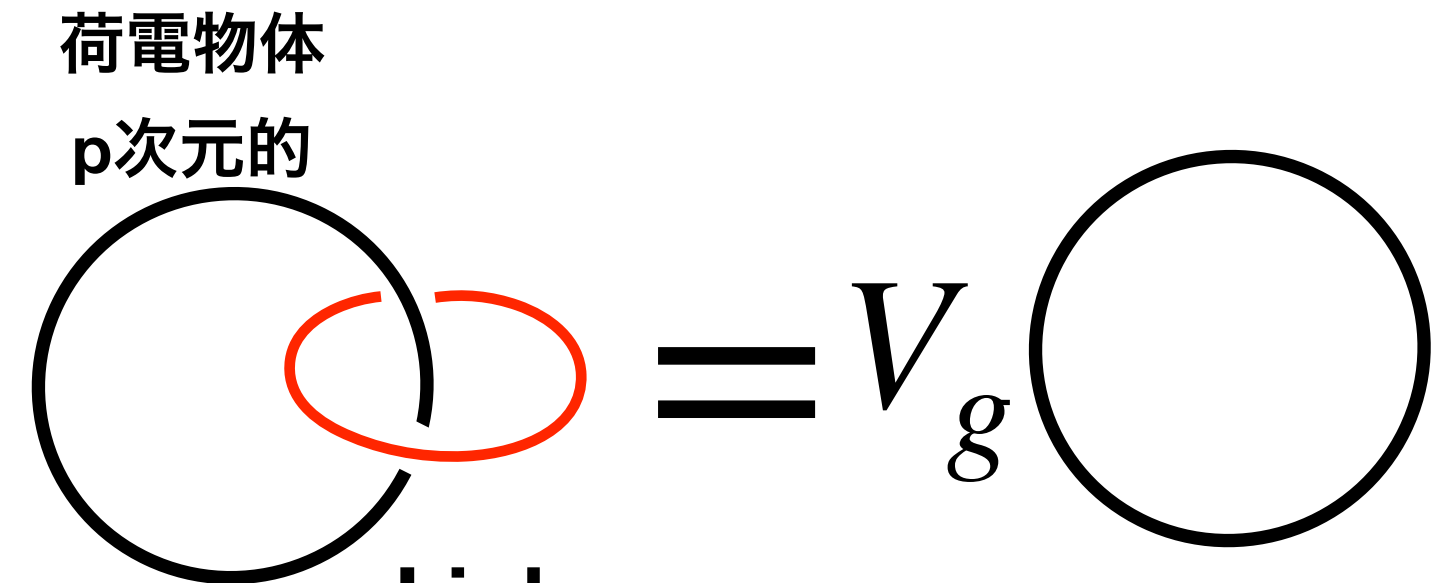
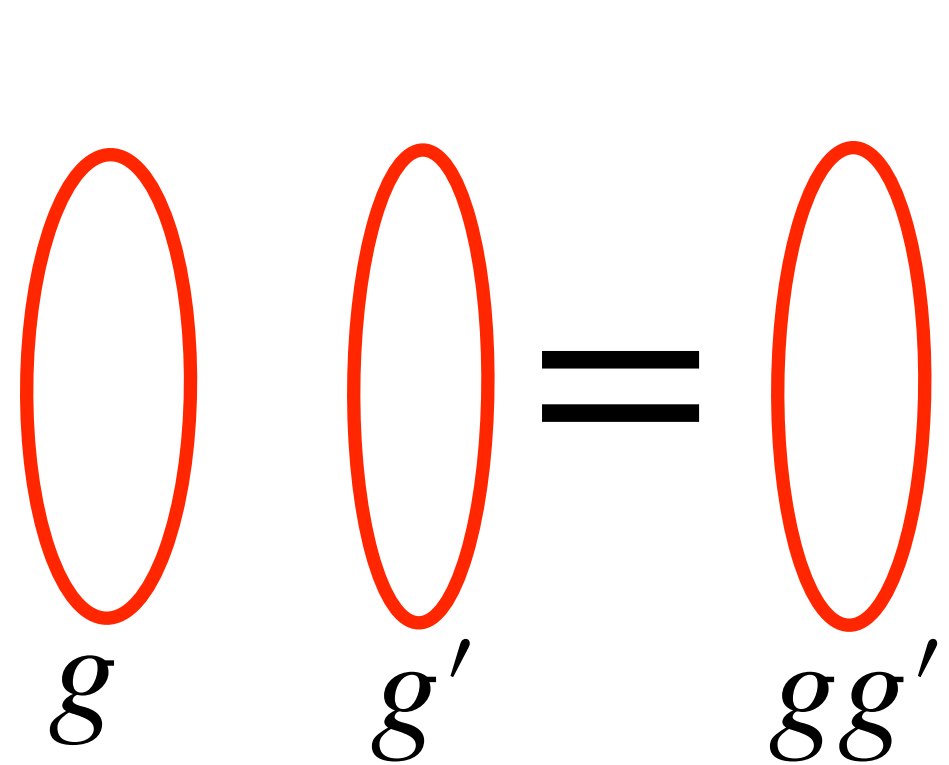


0-次対称性

$$g \quad g' = gg'$$


p-次対称性

荷電物体
p次元的
Link

$$g \quad g' = gg'$$


p 次対称性 ($p \geq 1$) の群は可換群

$$\begin{array}{c} \text{Diagram showing } g \text{ and } g' \text{ as disjoint red ovals. An equals sign follows. Then } gg' \text{ is shown as a single red oval.} \\ g \quad g' = gg' \\ \\ \text{Diagram showing } g \text{ and } g' \text{ as two separate red ovals. An equals sign follows. Then } g' \text{ and } g \text{ are shown as two separate red ovals. Another equals sign follows. Finally, } g'g \text{ is shown as a single red oval.} \\ g \quad g' = g' \quad g = g'g \end{array}$$

例) U(1) ゲージ理論

$$S = - \int d^4x \frac{1}{4e^2} f_{\mu\nu} f^{\mu\nu} = - \int \frac{1}{2e^2} f \wedge \star f$$

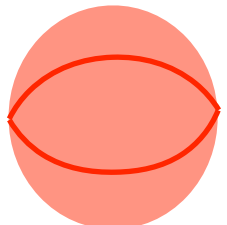
Maxwell 方程式

$$\partial_\mu f^{\mu\nu} = 0 \Rightarrow d \star f = 0$$

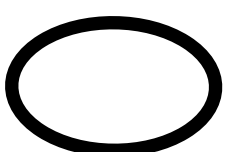
$$\epsilon^{\mu\nu\rho\sigma} \partial_\mu f_{\nu\rho} = 0 \Rightarrow df = 0$$

電束と磁束の保存に対応する

$$U(1)_E^{[1]} \times U(1)_M^{[1]} \text{ 対称性}$$



$$U_E = e^{i \frac{\theta_E}{e^2} \int_S \star f} \quad U_M = e^{i \frac{\theta_M}{2\pi} \int_S f}$$



$$W = e^{i \int_C a} \quad H = e^{i \int_C \tilde{a}}$$

非可逆対称性(Non-invertible symmetry)

圏論的対称性(Categorical symmetry)

Bhardwaj, Tachikawa(2017), Chang, Lin, Shao, Wang, Yin (2018), Ji, Wen (2019),
Komargodski, Ohmori, Roumpedakis, Seifnashri (2020), Nguyen, Tanizaki, Ünsal (2021), ...

例) O(2)ゲージ理論

cf. Heidenreich, McNamara, Montero, Reece, Rudelius, Valenzuela, 2104.07036

$$O(2) \simeq U(1) \times \mathbb{Z}_2$$

$$\begin{pmatrix} \cos \theta & \sin \theta \\ -\sin \theta & \cos \theta \end{pmatrix} \quad \begin{pmatrix} 1 & 0 \\ 0 & -1 \end{pmatrix}$$

回転 荷電共役

3種類の群の表現: 1, det, 2_q

対応するWilsonループ

$$W_{\det}(C) = \text{tr}_{\det} e^{i \int_C a}$$

$$W_{2_q}(C) = e^{iq \int_C a} + e^{-iq \int_C a}$$

対応する対称性演算子

$$T_\theta(S) = e^{i\theta \frac{1}{e^2} \int_S \star f} + e^{-i\theta \frac{1}{e^2} \int_S \star f}$$

$$T_\pi(S) = e^{i\pi \frac{1}{e^2} \int_S \star f}$$

これらはトポロジカルだが非可逆

$$T_\theta(S)T_{\theta'}(S) = T_{\theta+\theta'}(S) + T_{\theta-\theta'}(S)$$

$$T_\theta(S)T_{-\theta}(S) \approx 1 + T_{2\theta}(S)$$

融合則: $T_a(S)T_b(S) = \sum_c N_{ab}^c T_c(S)$

cf. 積和の公式

$$2 \cos(\theta)\cos(\theta') = \cos(\theta + \theta') + \cos(\theta - \theta')$$

T と W のリンク

$$T_\theta(S) = e^{i\theta \frac{1}{e^2} \int_S \star f} + e^{-i\theta \frac{1}{e^2} \int_S \star f}$$

$$W_{2_q}(C) = e^{iq \int_C a} + e^{-iq \int_C a}$$

$$e^{i\theta \frac{1}{e^2} \int_S \star f} e^{iq \int_C a} = e^{iq\theta} e^{iq \int_C a}$$

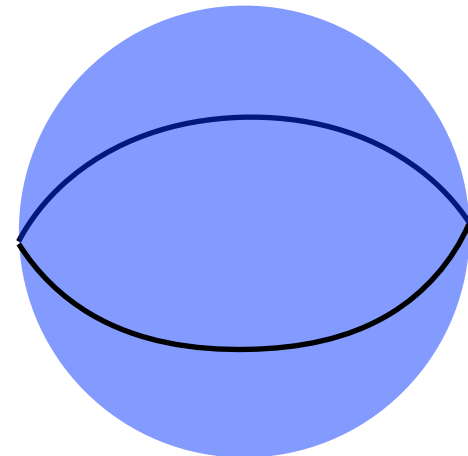
→ $T_\theta(S)W_{2_q}(C) = (e^{iq\theta} + e^{-iq\theta})W_{2_q}(C)$
位相じゃない

リンクすると: $T_\theta(S)W_{2_q}(C) = B_{2_q}(\theta)W_{2_q}(C)$
 $B_{2_q}(\theta) = 2 \cos q\theta$

$(d + 1)$ 次元QFTの非可逆対称性:

対称性演算子

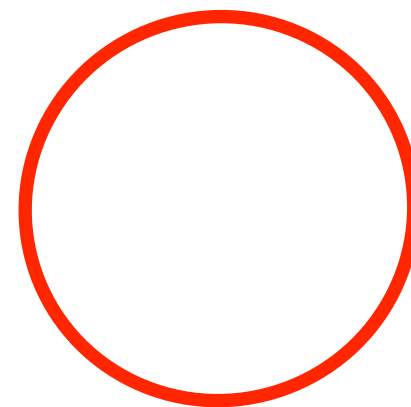
$$T_a(M^{d-p})$$



何かでラベルされた
 $(d - p)$ 次元
トポロジカルな物体

荷電物体

$$W_\rho(C^p)$$



何かの表現 ρ でラベルされた
 p 次元物体

$(d + 1)$ 次元QFTの非可逆対称性:

融合則: $T_a(M)T_b(M) = \sum N_{ab}^c T_c(M)$

結合則: $T_a(M)(T_b(M)T_c(M)) = (T_a(M)T_b(M))T_c(M)$

リンク: $T_a(M)W_\rho(C) = B_\rho(a)W_\rho(C)$

$$\text{Diagram: } \text{Two red circles intersecting at one point, with a blue circle inside the intersection.} = B_\rho(a) \text{ (A single red circle)}.$$

応用

対称性の自発的破れ (SSB)

- 光子は南部-Goldstoneボソン
- 離散高次対称性の自発的破れはトポロジカル秩序

量子異常とトポロジカル相

- アノマリーマッチングによる相の制限

例: $\theta = \pi$ における $SU(2)$ Yang-Mills 理論は,
1次対称性と時間反転対称性の間に't Hooft anomaly
基底状態は非自明

対称性による相の分類

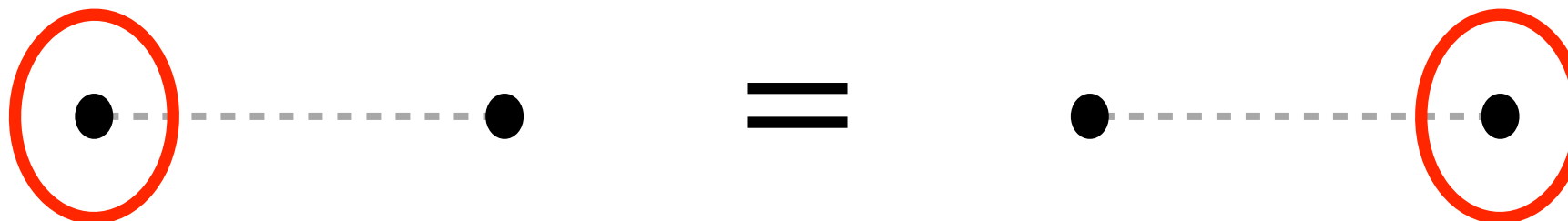
Nambu-Goldstone ボソン 自発的対称性の破れ

0次対称性

$$\lim_{x \rightarrow \infty} \langle \phi^\dagger(x) \phi(0) \rangle \simeq \langle \phi^\dagger(x) \rangle \langle \phi(0) \rangle \neq 0$$

非対角長距離秩序 • ··· ·

2点は線の境界



$$\langle e^{i\theta} \phi^\dagger(x) \phi(y) \rangle = \langle \phi(x) e^{i\theta} \phi(y) \rangle$$

離れた2点で位相が相關

秩序変数

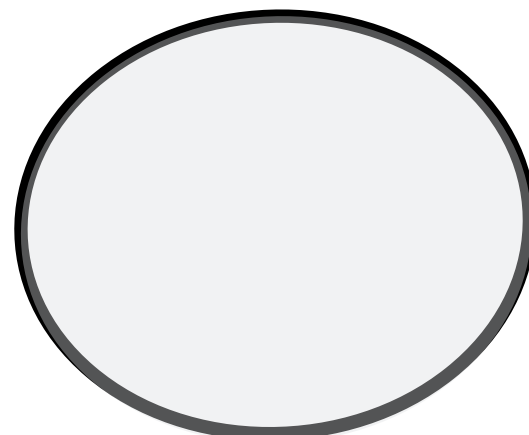
0次対称性の破れ

$$\lim_{x \rightarrow \infty} \langle \phi^\dagger(x) \phi(0) \rangle \neq 0$$



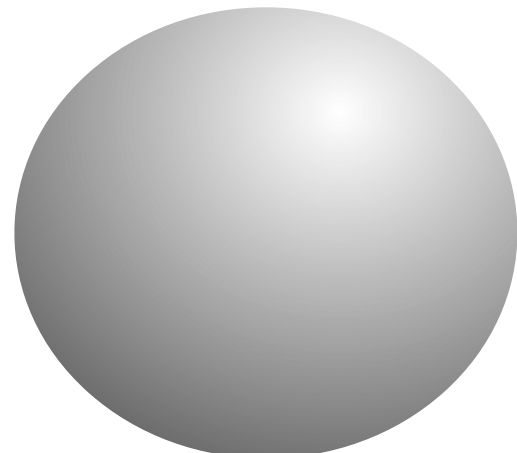
1次対称性の破れ

$$\lim_{C \rightarrow \infty} \langle W(C) \rangle \neq 0$$



p次対称性の破れ

$$\lim_{M^p \rightarrow \infty} \langle W(M^p) \rangle \neq 0$$



南部-Goldstoneの定理の p 次対称性バージョン

Gaiotto, Kapustin, Seiberg, Willett ('14), Lake ('18), Hofman, Iqbal ('18)

連続的 p 次対称性が自発的に
破れるとギャップレスモード(NGモード)が現れる

相対論的な場合は、NGモードの数は、

$$N_{\text{NG}} = \sum_A {}_{d-1}C_{p_A}$$

例) U(1)ゲージ理論

$\lim_{C \rightarrow \infty} \langle e^{i \int_C a} \rangle \neq 0$ $U(1)_E^{[1]}$ は自発的に破れている

光子はNGボソン

$$N_{\text{NG}} = \sum_A {}_{d-1}C_{p_A} = {}_2C_1 = 2$$

$$S = - \int \frac{1}{2e^2} f \wedge \star f$$

は低エネルギー有効ラグランジアン

($f = da$ は Maurer-Cartan form の高次対称性バージョン)

Ex) $SU(N)$ ゲージ理論

$$S = - \int d^4x \frac{1}{2g^2} \text{tr} f \wedge \star f \quad f = da - ia \wedge a$$

は \mathbb{Z}_N 1次対称性を持つ

秩序演算子

$$\langle W \rangle = \langle \text{tr} e^{i \int_C a} \rangle = \begin{cases} \text{面積則 (破れてない)} \\ \text{周長則 (破れている)} \end{cases}$$

\mathbb{Z}_N は離散対称性なので,

\mathbb{Z}_N が自発的に破れても NG モードはでない

$SU(N)$ ゲージ理論にクーロン相がない事と無矛盾

非相対論的な場合

0次対称性の対称性の破れとNGモードの関係

Watanabe, Murayama ('12), YH ('12)

$$N_{\text{NG}} = N_{\text{BS}} - \frac{1}{2} \text{rank} \langle [iQ_a, Q_b] \rangle$$

高次対称性の破れに拡張可能

Hidaka, Hirono, Yokokura ('20)

$$N_{\text{NG}} = \sum_A {}_{d-1}C_{p_A} - \frac{1}{2} \text{rank} \langle [iQ_a, Q_b] \rangle$$

物質相の分類

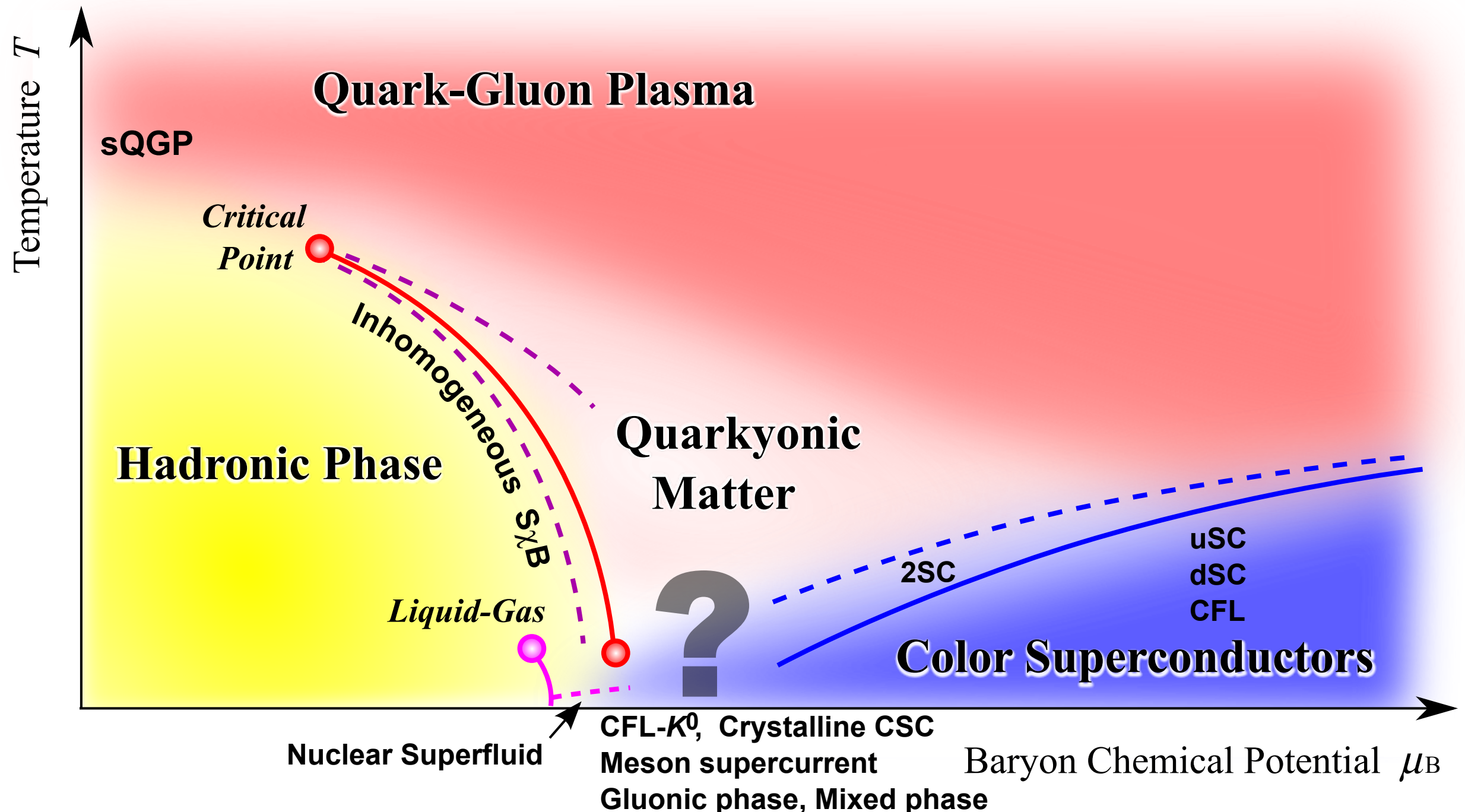
(対称性)が異なっている相の間には

相転移が存在

QCDへの応用を考えてみる

QCD相図(予想)

Fukushima, Hatsuda, Rept. Prog. Phys. 74 (2011) 014001



高密度相はよくわかっていない

何がわかっているか？

簡単のため3フレーバQCDについて

超高密度

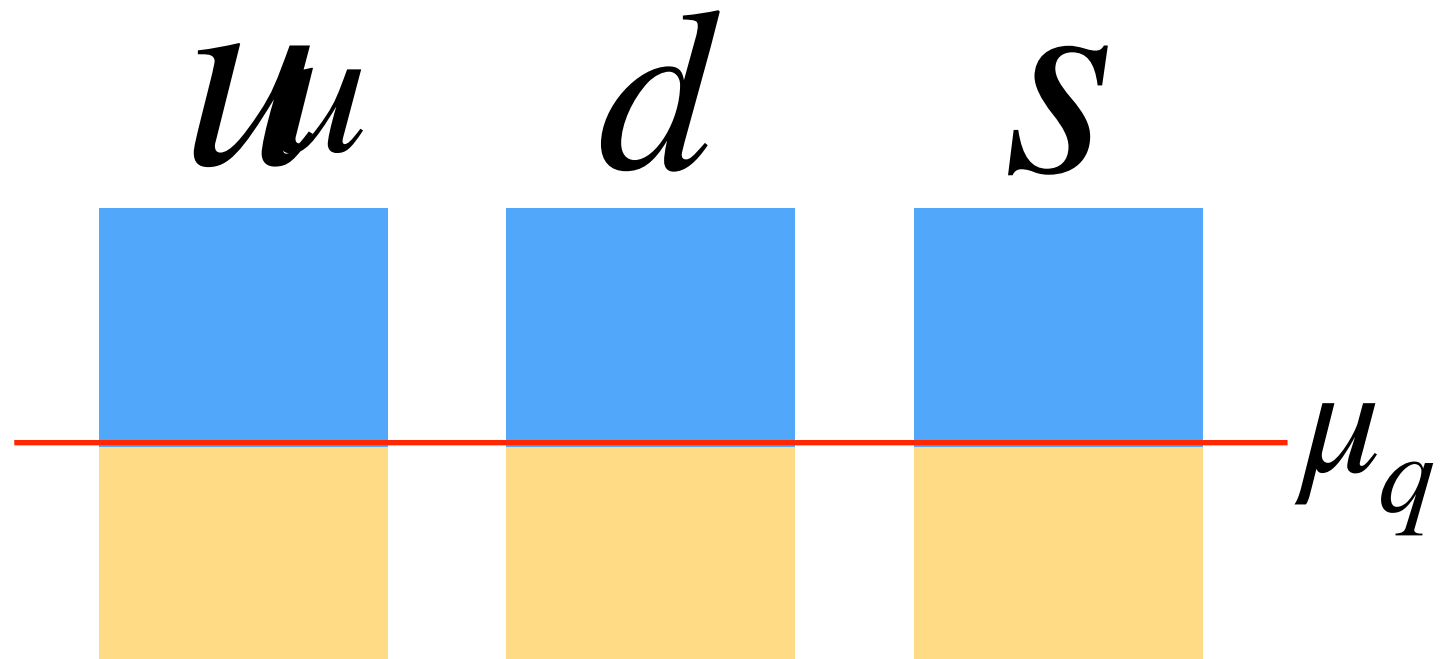
フレーバとカラーがロックした

カラー超伝導相(CFL相)

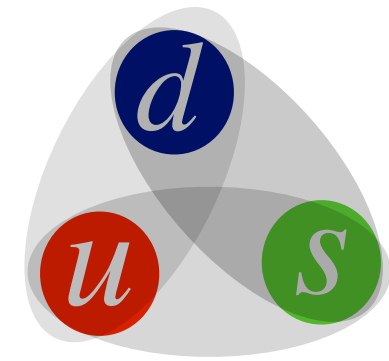
低密度

原子核超流動相

CFL相



クォークペア



$$(\Phi_L)_{\textcolor{red}{a}}^i = \epsilon^{ijk} \epsilon_{\textcolor{red}{a}\textcolor{green}{b}\textcolor{blue}{c}} \langle (q_L)_j^{\textcolor{green}{b}} (Cq_L)_k^{\textcolor{blue}{c}} \rangle \quad (\Phi_R)_{\textcolor{red}{a}}^i = \epsilon^{ijk} \epsilon_{\textcolor{red}{a}\textcolor{green}{b}\textcolor{blue}{c}} \langle (q_R)_j^{\textcolor{green}{b}} (Cq_R)_k^{\textcolor{blue}{c}} \rangle$$

$$\Phi := \Phi_L = -\Phi_R = \begin{pmatrix} \Delta_{\text{CFL}} & 0 & 0 \\ 0 & \Delta_{\text{CFL}} & 0 \\ 0 & 0 & \Delta_{\text{CFL}} \end{pmatrix}$$

カイラル対称性も破れている

大域対称性の破れのパターン

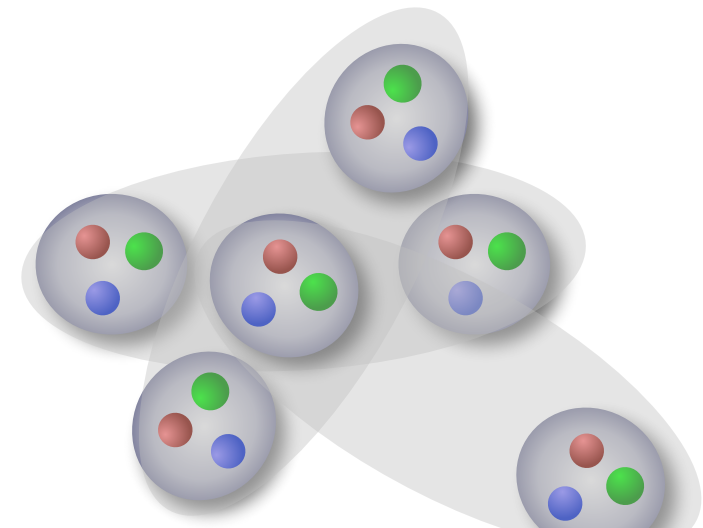
$$SU(3)_L \times SU(3)_R \times U(1)_B \rightarrow SU(3)_V$$

CFL相は何かが特徴づけるか？

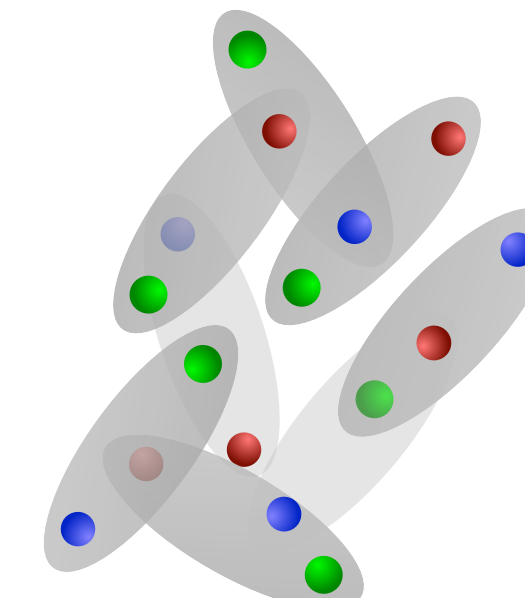
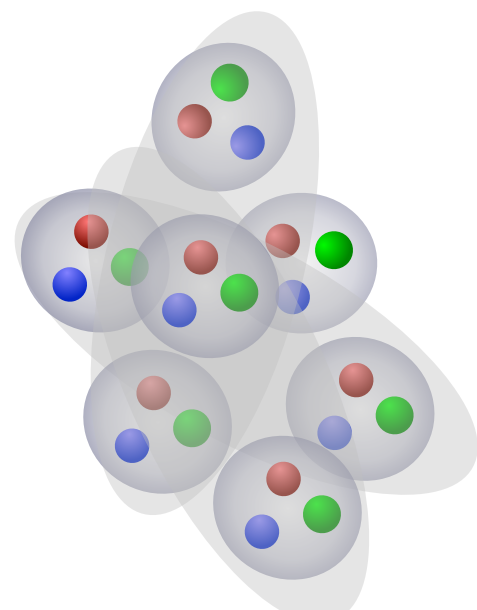
Fradkin-Shenker定理:

閉じ込め相とHiggs相は同じ相

ハドロン相



CFL相



クォークハドロン連続性(仮説)

CFL = \mathbb{Z}_3 -2次対称性が創発

Hirono, Tanizaki, Phys. Rev. Lett. 122, 212001 (2019)

cf. Cherman, Sen, Yaffe, Phys. Rev. D 100, 034015 (2019)

対応して、非可換渦が存在する

U(1) 渦 $\Phi := \Delta_{\text{CFL}} \begin{pmatrix} e^{i\theta}f(r) & 0 & 0 \\ 0 & e^{i\theta}f(r) & 0 \\ 0 & 0 & e^{i\theta}f(r) \end{pmatrix}$

非可換渦

Balachandran, Digal, Matsuura, PRD73, 074009 (2006)

$$\Phi := \Delta_{\text{CFL}} \begin{pmatrix} e^{i\theta}f(r) & 0 & 0 \\ 0 & g(r) & 0 \\ 0 & 0 & g(r) \end{pmatrix} = \Delta_{\text{CFL}} e^{i\frac{\theta}{3}} \begin{pmatrix} e^{i\frac{2\theta}{3}}f(r) & 0 & 0 \\ 0 & e^{-i\frac{\theta}{3}}g(r) & 0 \\ 0 & 0 & e^{-i\frac{\theta}{3}}g(r) \end{pmatrix}$$

ハドロン相にこの対称性がなければ相転移があるはず

cf. Boojumシナリオ: Chatterjee, Nitta, Yasui

Cherman, Jacobson, Sen, Yaffe, Phys. Rev. D 102, 105021 (2020)

cf. 谷崎-広野の議論: \mathbb{Z}_3 -2次対称性は破れていない
のでトポロジカル秩序ではない

2フレーバQCDの場合

ハドロン相: 3P_2 超流動

高密度相: 1重項 (ud) + 3P_2 (dd)のダイクォーク凝縮相

Fujimoto, Fukushima, Weise Phys. Rev. D 101 (2020) 094009

量子渦として “Alice string” が存在

Fujimoto, Nitta, Phys. Rev.D 103 (2021), 114003; 054002; 2103.15185

⇒ 非可逆対称性が創発(?)

ハドロン相にこの対称性がなければ相転移があるはず

まとめ

対称性: 何かでラベルされたトポロジカルな物体



通常の対称性と同様に便利

対称性の破れ, 't Hooftアノマリー, 相の分類

通常の対称性と同じように便利

対称性の破れ, アノマリー, 相の分類など

対称性演算のなす代数 = 高次群

⇒横倉さんのトーク

おまけ

トポロジカル秩序

トポロジカル秩序

—トポロジカル秩序の特徴づけ—

- 基底状態の縮退
- エニオン統計
- 長距離の量子相関(エンタングルメント)
- 局所的な擾動に対する安定性

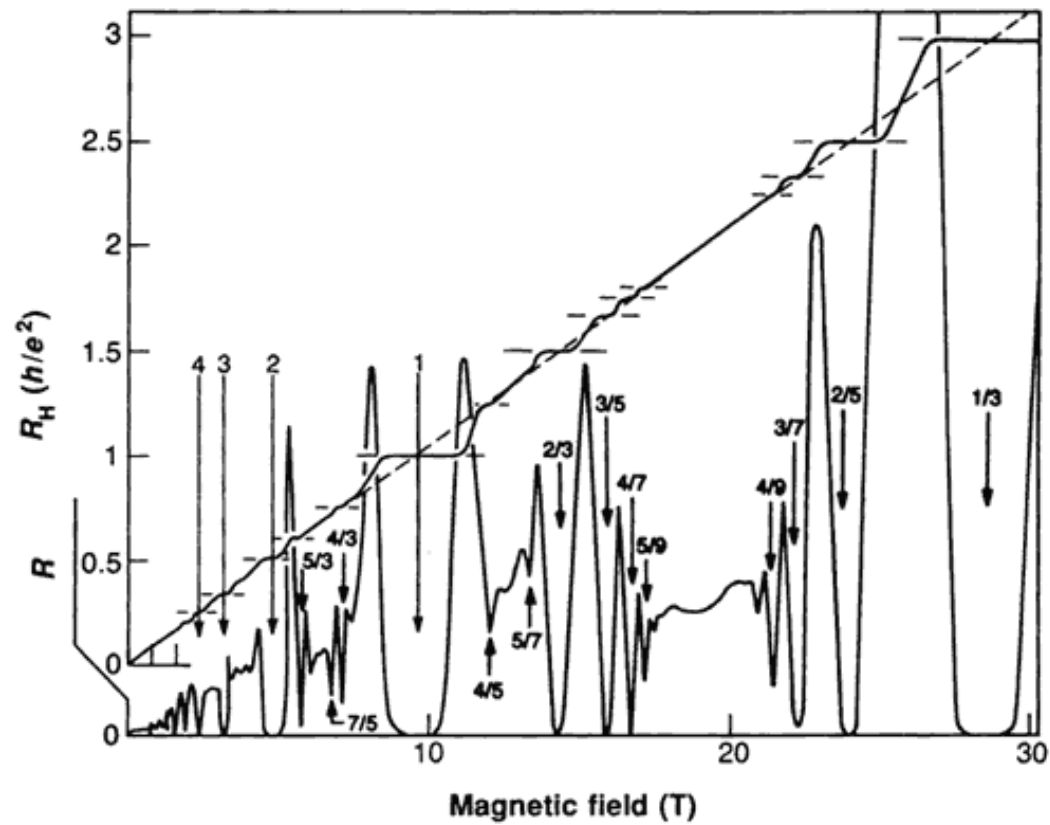
低エネルギーの有効理論

= BF理論のようなトポロジカルな場の理論

$$S = \frac{k}{2\pi} \int b \wedge da$$

典型的なトポロジカル秩序は高次対称性の
自発的破れとして解釈可能

例: 分数量子ホール系



$$S_{\text{eff}} = -\frac{k}{4\pi} \int a \wedge da + \frac{1}{2\pi} \int A \wedge da$$

a : ダイナミカルゲージ場
 A : 外場としてのU(1)ゲージ場
 k : 整数

Figure from Nobelprize.org

運動方程式: $-\frac{k}{2\pi}da + \frac{dA}{2\pi} = 0$

カレント: $J = \frac{\delta S_{\text{eff}}}{\delta A} = \frac{1}{2\pi}da = \frac{1}{k} \frac{dA}{2\pi}$ 分数ホール効果

例: 分数ホール効果

有効理論: Chern-Simons

$$S = -\frac{k}{4\pi} \int a \wedge da$$

\mathbb{Z}_k 1次対称性

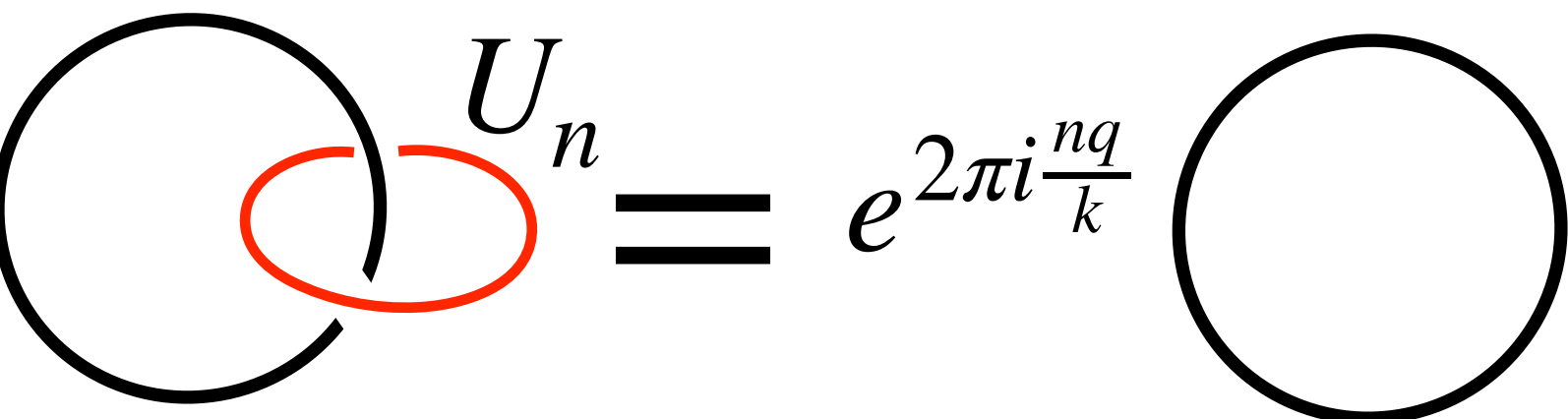
$$a \rightarrow a + \frac{\lambda}{k} \quad d\lambda = 0 \quad \int \lambda \in 2\pi\mathbb{Z}$$

荷電物体:

$$W_q = e^{iq \int a}$$

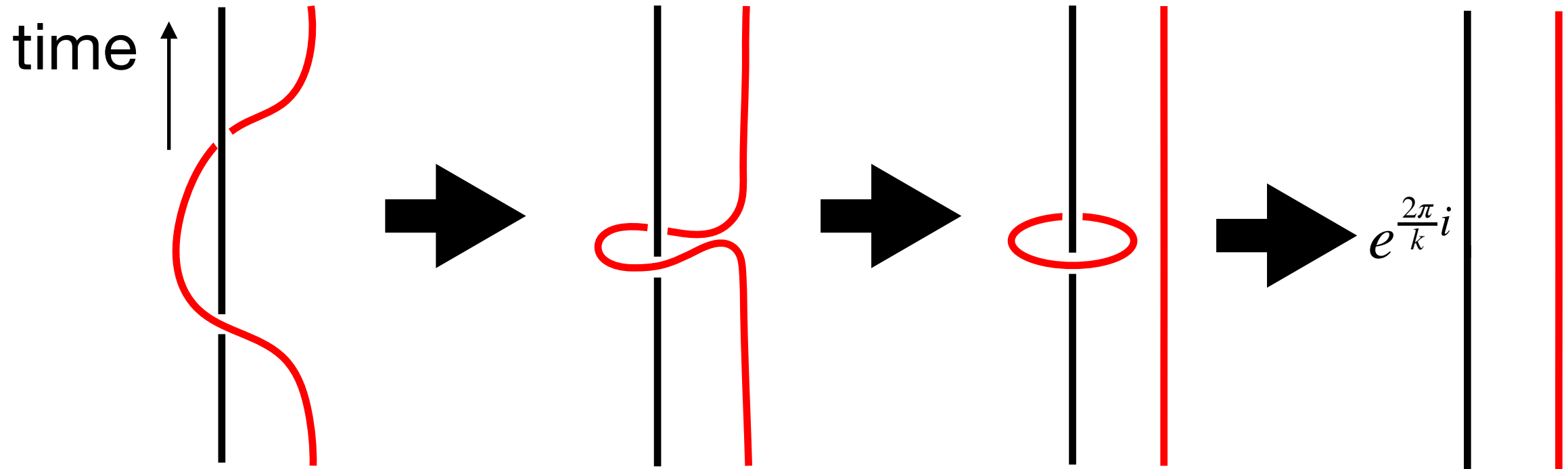
対称性演算子:

$$U_n = e^{in \int a}$$

$$W_q \circ U_n = e^{2\pi i \frac{nq}{k}} W_q$$


例: 分数量子ホール系

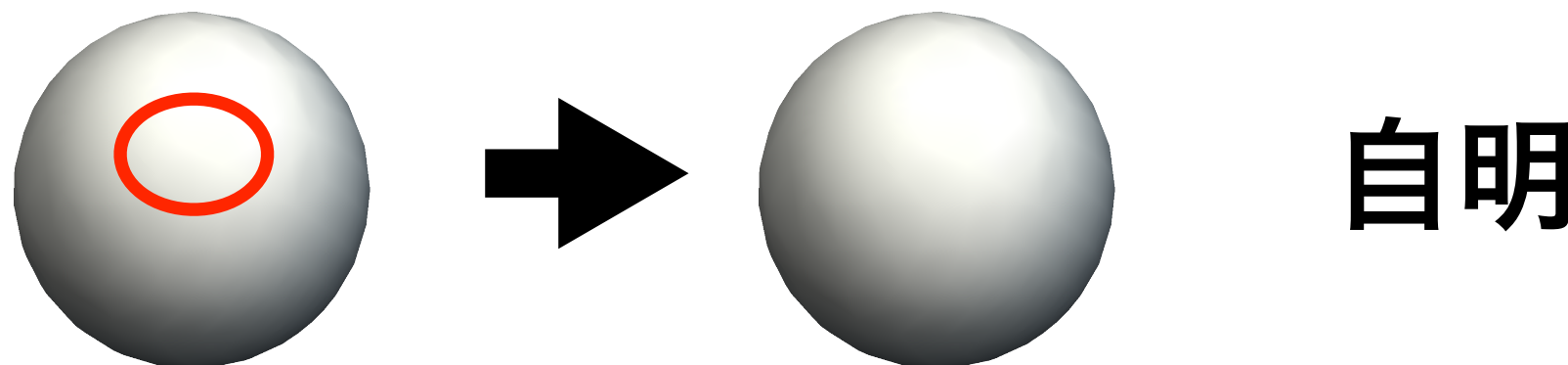
エニオン統計



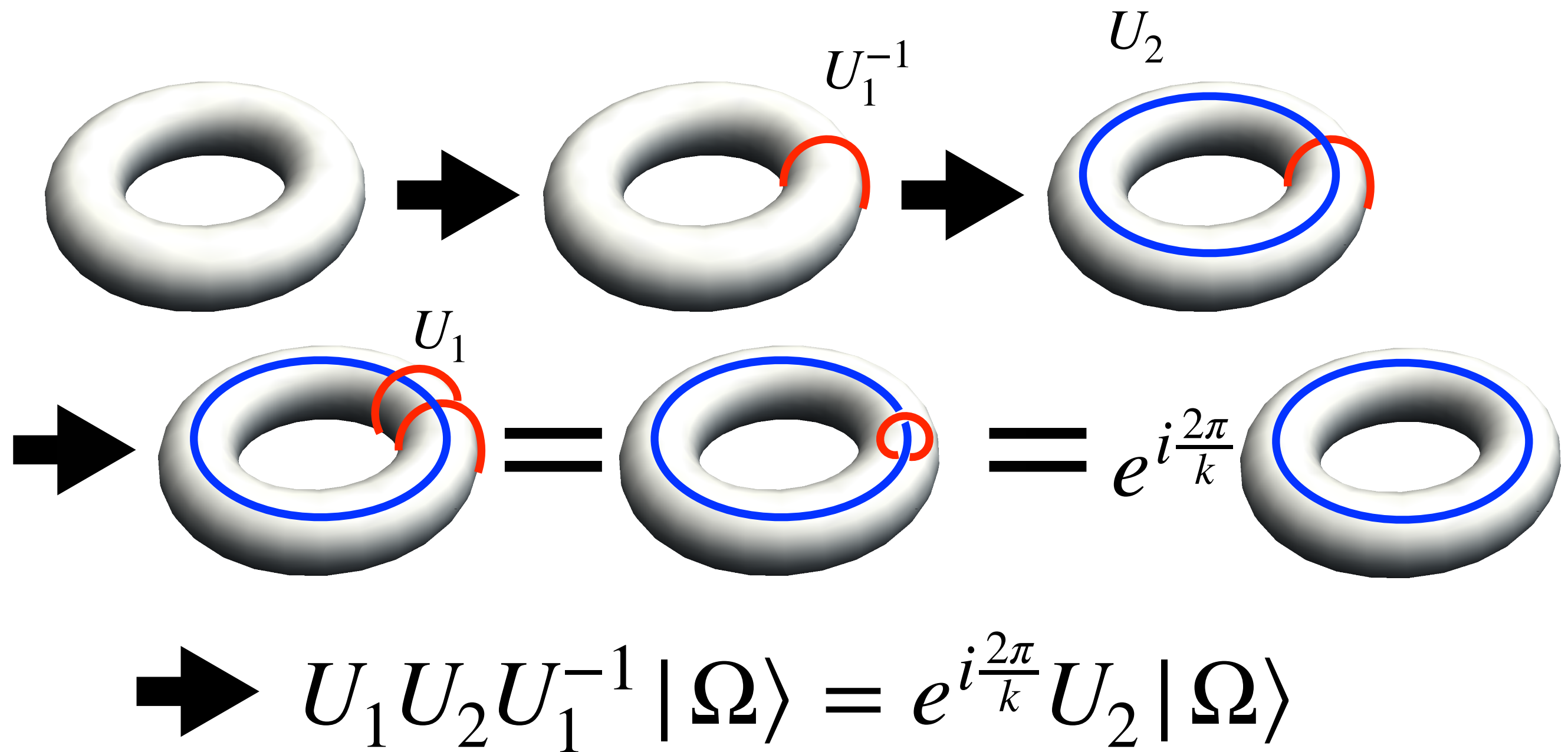
$e^{\frac{\pi}{k}i}$ が入れ替えたときの位相を表す

例: 分数量子ホール系

基底状態の縮退



例: 分数量子ホール系



$$U_1 U_2 U_1^{-1} |\Omega\rangle = e^{i\frac{2\pi}{k}} U_2 |\Omega\rangle$$

は基底状態の縮退を意味する

$$U_1^{-1} |\Omega\rangle = e^{i\theta} |\Omega\rangle \text{ とすると,}$$

$$\langle \Omega | U_2 | \Omega \rangle = \langle \Omega | U_1 U_2 U_1^{-1} | \Omega \rangle = e^{i\frac{2\pi}{k}} \langle \Omega | U_2 | \Omega \rangle$$

$$\rightarrow \langle \Omega | U_2 | \Omega \rangle = 0$$

$|\Omega\rangle$ と $U_2 |\Omega\rangle$ は異なる状態

(基底状態は k^g 重縮退)

例: 超伝導

$$S_{\text{eff}} = \nu^2 \int (d\varphi - ka) \wedge \star (d\varphi - ka)$$

$k = 2$: クーパーペアの電荷

低エネルギーの有効理論は \mathbb{Z}_k ゲージ理論

$$\nu^2 \rightarrow \infty \rightarrow d\varphi - ka = 0$$

$$S_{\text{eff}} = \frac{1}{2\pi} \int c \wedge (d\varphi - ka)$$

φ の運動方程式 $dc = 0 \rightarrow c = db$

$$S_{\text{eff}} = \frac{-k}{2\pi} \int db \wedge a = \frac{k}{2\pi} \int b \wedge da$$

例: 超伝導

$$S_{\text{eff}} = \frac{k}{2\pi} \int b \wedge da$$

1次対称性

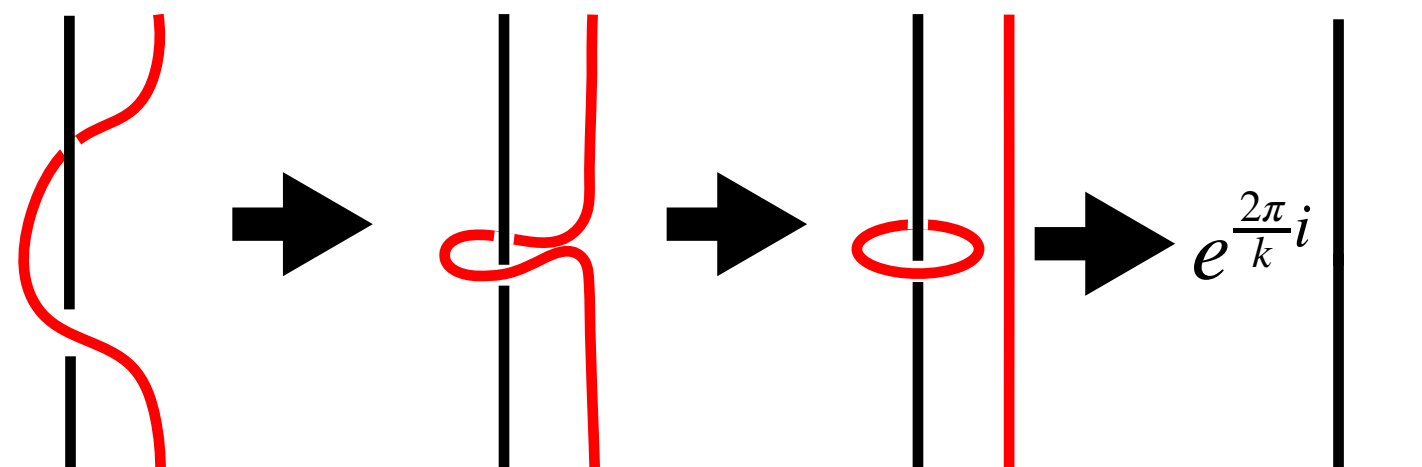
$$a \rightarrow a + \frac{\lambda^{(1)}}{k}$$

2次対称性

$$b \rightarrow b + \frac{\lambda^{(2)}}{k}$$

入れ替えの統計(Aharonov–Bohm位相)

時間



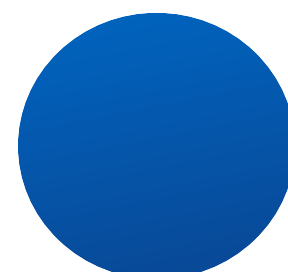
荷電物体



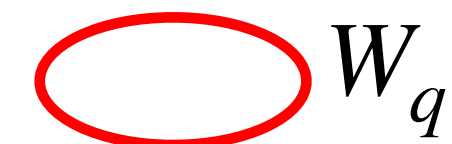
$$W_q = e^{iq \int a}$$



対称性演算子



$$U_n = e^{in \int b}$$



$$W_q$$

アノマリー

対称性を背景ゲージ場と結合させると
カレントが保存しなくなる。

背景ゲージ場

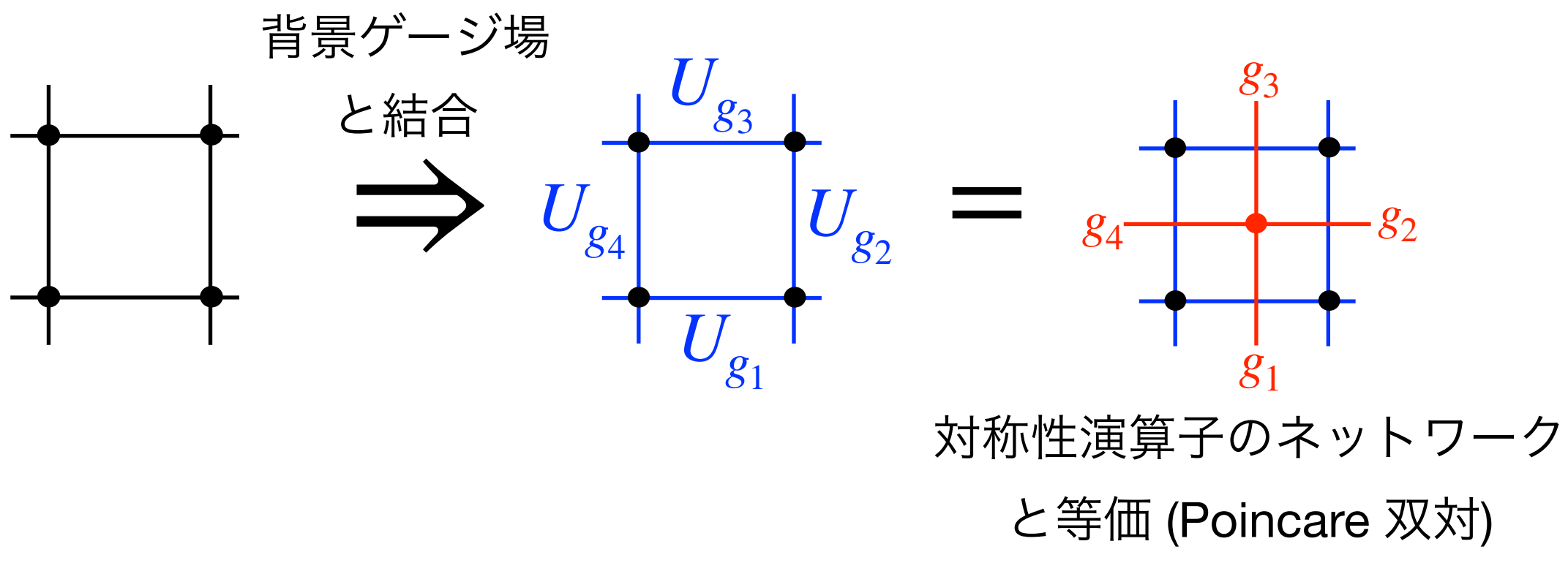
=対称性演算子の

ネットワーク

背景ゲージ場との結合

格子ゲージ理論ではゲージ場は,

G 値のリンク変数 $U = e^{i \int a}$



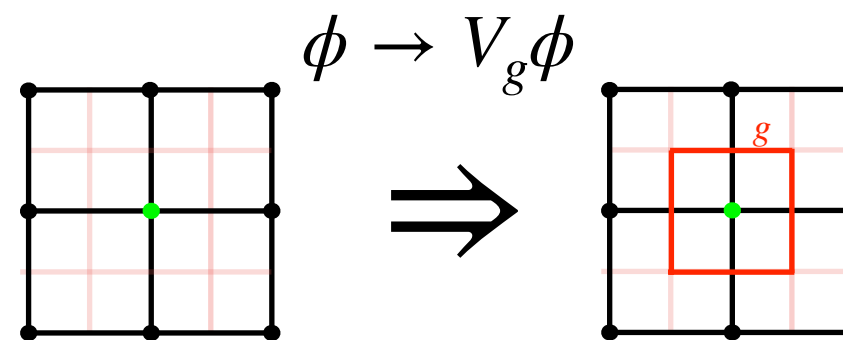
離散対称性の場合は、連続極限を取れるためには

$$U_{g_1} U_{g_2} U_{g_3}^{-1} U_{g_4}^{-1} = 1 \text{を要請 (平坦接続),}$$

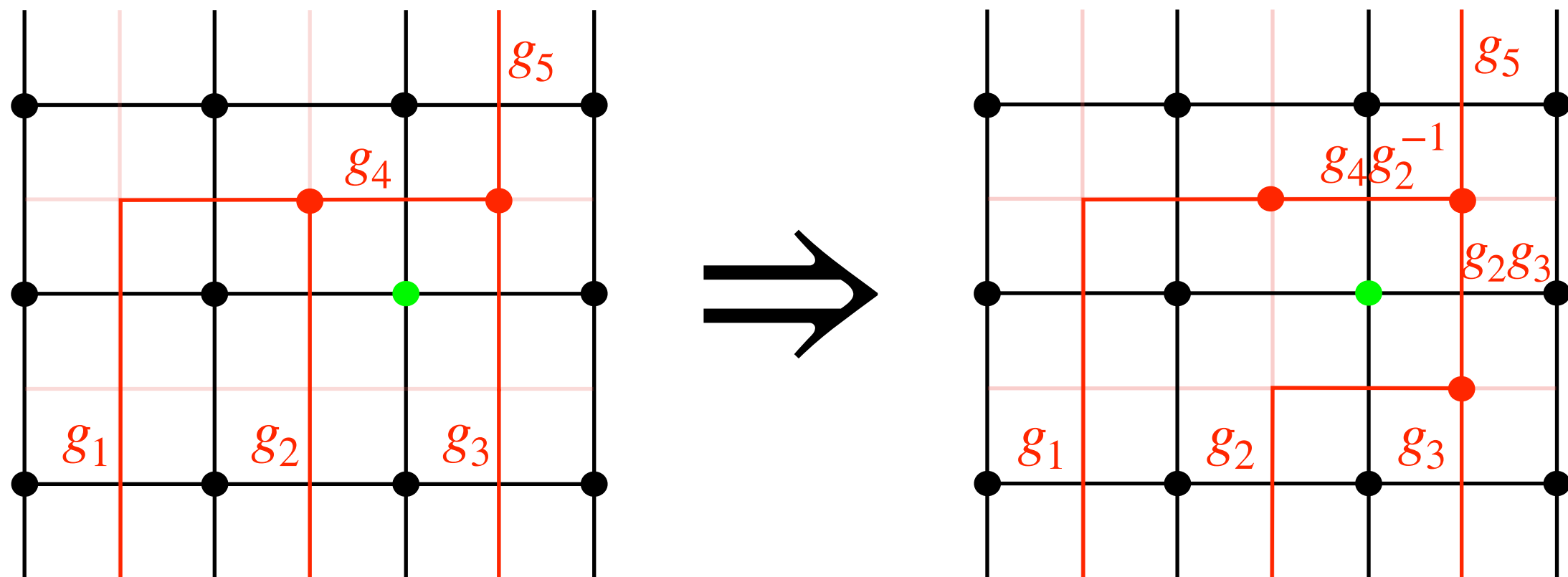
i.e., $g_1 g_2 g_3^{-1} g_4^{-1} = 1$

ゲージ変換

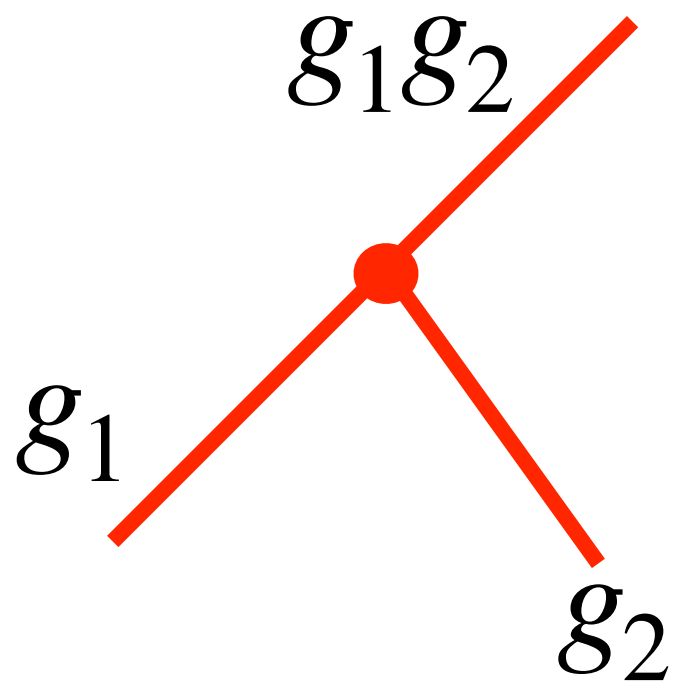
ϕ の再定義



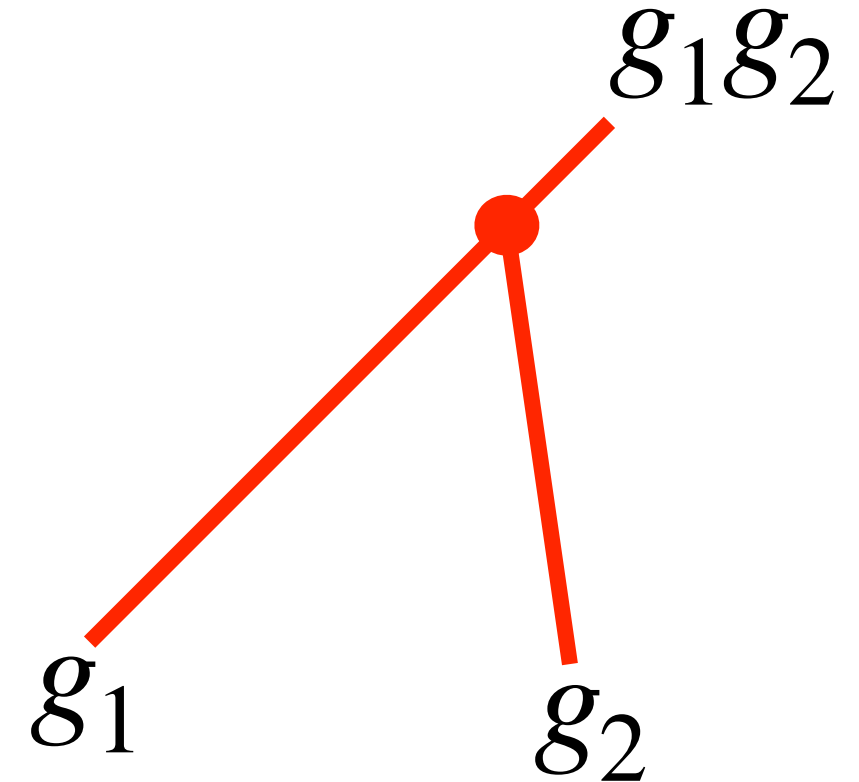
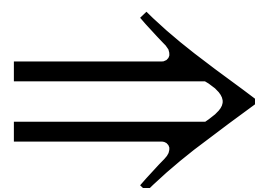
ネットワークの変形(ゲージ変換)を誘発



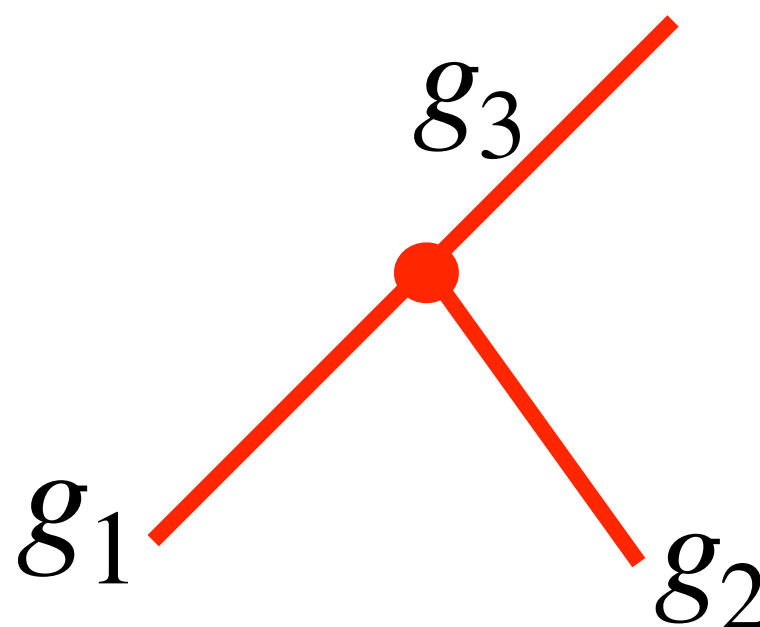
平坦接続



ジャンクションがトポロジカル



平坦じゃない(曲率がある)場合は、
ジャンクションはトポロジカルではない



't Hooft アノマリー

$$\text{分配関数 } Z[A] = \int D\phi e^{iS[A]}$$

はゲージ変換の元で不变でない

$$Z[A] \rightarrow Z[A + d\lambda] = Z[A] e^{i\omega(\lambda, A)} \neq Z[A]$$

差は位相 $e^{i\omega(\lambda, A)}$

't Hooftアノマリーとしての射影表現

量子力学を考える. 分配関数は,

$$Z = \text{tr} e^{-\beta H}$$

$$Z[A] = \text{tr} e^{-\beta H} U_{g_1} U_{g_2} \stackrel{?}{=} Z[A + d\lambda] = \text{tr} e^{-\beta H} U_{g_1 g_2}$$



もし, $U_{g_1} U_{g_2} = e^{i\omega(g_1, g_2)} U_{g_1 g_2}$ ならば

$$Z[A + d\lambda] = e^{-i\omega(g_1, g_2)} Z[A] \text{ アノマリー}$$

$$U_{g_1} U_{g_2} = e^{i\omega(g_1, g_2)} U_{g_1 g_2} \text{ は}$$

結合則を満たす: $(U_{g_1} U_{g_2}) U_{g_3} = U_{g_1} (U_{g_2} U_{g_3})$

$$\rightarrow e^{i\omega(g_1 g_2, g_3) + i\omega(g_1, g_2)} = e^{i\omega(g_1, g_2 g_3) + i\omega(g_2, g_3)}$$

$$\rightarrow \delta^{(3)}\omega(g_1, g_2, g_3) := \omega(g_2, g_3) - \omega(g_1 g_2, g_3) + \omega(g_1, g_2 g_3) - \omega(g_1, g_2) = 0$$

$U_g \rightarrow e^{i\omega(g)} U_g$ の元で $\rightarrow \omega(g_1, g_2) \rightarrow \omega(g_1, g_2) - \delta^{(2)}\omega(g_1, g_2)$

ここで, $\delta^{(2)}\omega(g_2, g_1) := \omega(g_2) - \omega(g_1 g_2) + \omega(g_1)$

$\delta^{(3)} \circ \delta^{(2)} = 0$ を満たす

$$\delta^{(3)}\omega(g_1, g_2, g_3) = 0 \quad \text{と} \quad \omega(g_1, g_2) \sim \omega(g_1, g_2) - \delta^{(2)}\omega(g_1, g_2)$$

$$\rightarrow \omega(g_1, g_2) \in \frac{\ker \delta^{(3)}}{\operatorname{im} \delta^{(2)}} =: H^2(G, U(1))$$

射影表現は非自明な基底状態を意味する

$U_{g_1} U_{g_2} = e^{i\omega(g_1, g_2)} U_{g_1 g_2}$ とし,

基底状態 $|\Omega\rangle$ に縮退がないとする

$|\Omega\rangle$ は U_g の固有状態に取れる: $U_g |\Omega\rangle = e^{i\omega(g)} |\Omega\rangle$

$$U_{g_1} U_{g_2} |\Omega\rangle = e^{i\omega(g_1) + i\omega(g_2)} |\Omega\rangle$$

$$e^{i\omega(g_1, g_2)} U_{g_2 g_1} |\Omega\rangle = e^{i\omega(g_1, g_2) + i\omega(g_1 g_2)} |\Omega\rangle$$

$$\rightarrow |\Omega\rangle = e^{i\omega(g_1, g_2) - i\delta^{(2)}\omega(g_1, g_2)} |\Omega\rangle$$

射影表現は,

$\omega(g_1, g_2) - \delta^{(2)}\omega(g_1, g_2)$ が非自明

これは仮定に反する \Rightarrow 基底状態が縮退

より一般に,'t Hooftがあると
基底状態は非自明

- 対称性の自発的破れ
- トポロジカル秩序
- CFT
-

例) U(1)ゲージ理論

$$S = - \int \frac{1}{2e^2} f \wedge \star f$$

背景ゲージ場を結合

$$S[B_E, B_M] = - \int \frac{1}{2e^2} (f - B_E) \wedge \star (f - B_E)$$

$$+ \frac{1}{2\pi} \int (f - B_E) \wedge B_M$$

作用は $B_M \rightarrow B_M + d\lambda$ の元で不变でない:

$$S[B_E, B_M] \rightarrow S[B_E, B_M] - \frac{1}{2\pi} \int B_E \wedge d\lambda$$

対称性で保護されたトポロジカル相



縮退のないギャップを持った基底状態
しかし境界を持つ場合,
境界理論にアノマリー

全系の分配関数 $Z[A]_{\text{total}} = Z[A]_{\text{bulk}}Z[A]_{\text{boundary}}$

ゲージ不变: $Z[A + d\lambda]_{\text{total}} = Z[A]_{\text{total}}$

バルクと境界それぞれ, 不変でない:

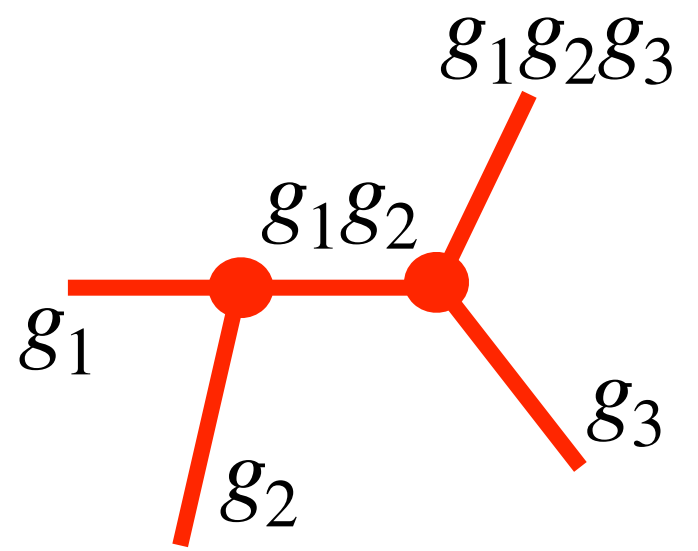
$$Z[A + d\lambda]_{\text{boundary}} = e^{i\omega(A, \lambda)} Z[A]_{\text{boundary}}$$

$$Z[A + d\lambda]_{\text{bulk}} = e^{-i\omega(A, \lambda)} Z[A]_{\text{bulk}}$$

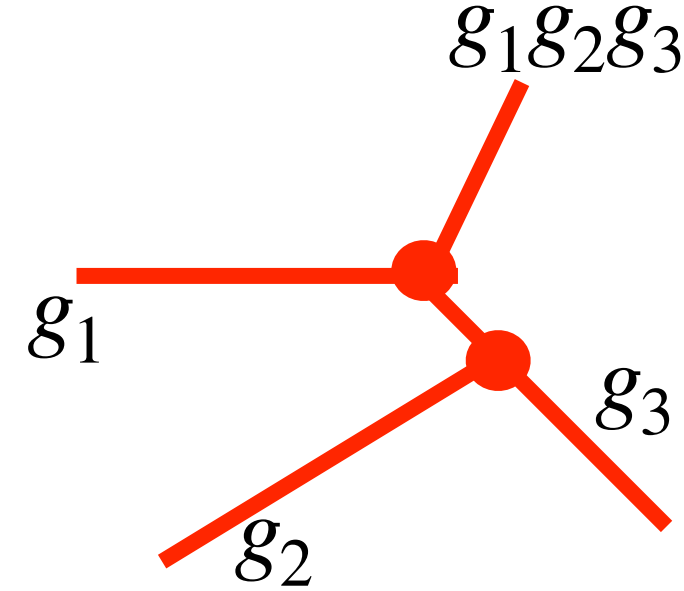
対称性で保護されたトポロジカル相

分配関数は背景ゲージ場と結合させると
非自明な位相を出す $Z[A] = e^{i\theta(A)}$

ジャンクションに位相を付与



⇒
ゲージ変換



$$= e^{-i\omega(g_1, g_2)} e^{-i\omega(g_1g_2, g_3)}$$

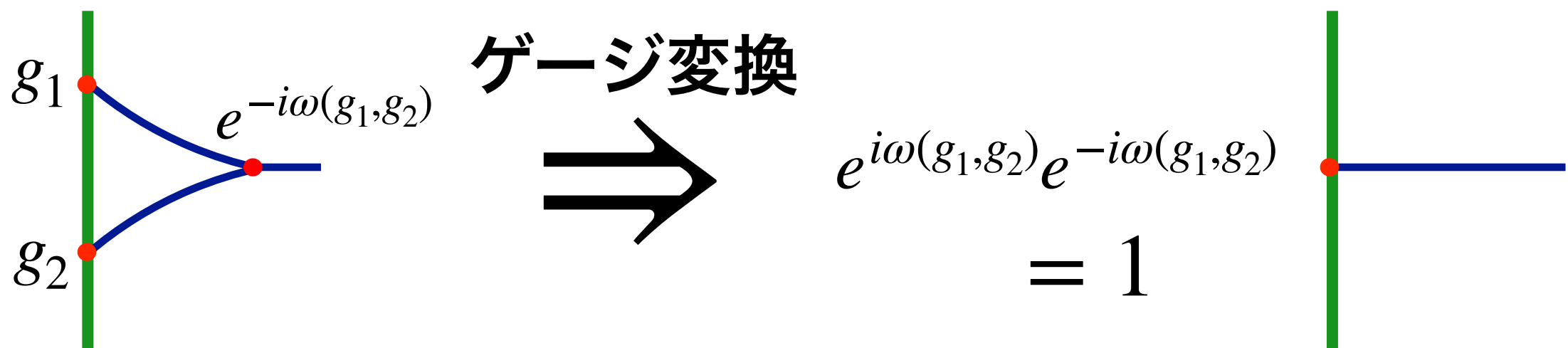
$$= e^{-i\omega(g_2, g_3)} e^{-i\omega(g_1, g_2g_3)}$$

$$d^{(3)}\omega(g_1, g_2, g_3) := \omega(g_2, g_3) - \omega(g_1g_2, g_3) + \omega(g_1, g_2g_3) - \omega(g_1, g_2) = 0$$

U_g の再定義 $\omega(g_1, g_2) \rightarrow \omega(g_1, g_2) - d^{(2)}\omega(g_1, g_2)$

→ $\omega \in H^2(G, U(1))$ 量子力学のアノマリー(射影表現)の分類と同じ

アノマリー流入



例: U(1) ゲージ理論

$$Z_{\text{boundary}}[B_E, B_M] = \int \mathcal{D}a e^{iS[a, B_E, B_M]}$$

$$Z_{\text{bulk}}[B_E, B_M] = e^{\frac{i}{2\pi} \int_X dB_E \wedge B_M}$$

ゲージ変換の元で,

$$Z_{\text{boundary}}[B_E, B_M + d\lambda] = Z_{\text{boundary}}[B_E, B_M] e^{\frac{-i}{2\pi} \int_M B_E d\lambda}$$

$$Z_{\text{bulk}}[B_E, B_M + d\lambda] = Z_{\text{bulk}}[B_E, B_M] e^{\frac{i}{2\pi} \int_{\partial X} B_E \wedge d\lambda}$$

$Z_{\text{boundary}}[B_E, B_M] Z_{\text{bulk}}[B_E, B_M]$ は不变.